

علمی - پژوهشی

تحلیل عددی اثر خواص غیرنیوتی سیالات بر پدیده ضربه قوچ در لوله‌ها

 بنفشه نوروزی

مؤسسه آموزش عالی لامعی گرگانی، گرگان، ایران

(تاریخ دریافت: ۳۰/۰۵/۱۴۰۲؛ تاریخ بازنگری: ۱۴۰۲/۰۹/۱۷؛ تاریخ پذیرش: ۱۴۰۲/۰۲/۲۷؛ تاریخ انتشار: ۱۴۰۲/۱۱/۳۰)

DOI: <https://dor.net/dor/20.1001.1.23223278.1402.12.2.2.3>

چکیده

در پژوهش حاضر، رفتار یک سیال غیرنیوتی در شرایط رخداد پدیده ضربه قوچ، به صورت عددی مورد بررسی قرار گرفته است. خواص غیرنیوتی سیال نظیر رابطه غیرخطی تنش و کرنش و نیز دارابودن ثابت زمانی رهایی از تنش و... باعث می‌گردد که موج فشاری حاصل از قطع ناگهانی جریان، در این حالت، رفتاری متفاوت با یک سیال نیوتی نظیر آب داشته باشد. سیستم مورد بررسی از نوع شیر، لوله و مخزن و معادلات حاکم بر مسئله نیز معادلات پیوستگی و مومنتوم است. در مدل سازی معادلات، از روش عددی تفاضل محدود استفاده شده است. در ادامه، بی‌بعد سازی معادلات انجام شده و سپس، تاثیر اعداد دبورا و رینولدز بر تاریخچه فشاری در نقاط بحرانی لوله نظیر پشت شیر و وسط لوله بررسی گردیده است. نتایج مدل سازی نشان داده است که افزایش عدد دبورا که از ساختهای سیال غیرنیوتی است، باعث افزایش ارتفاع نوسانات موج فشاری در طول پدیده ضربه قوچ نسبت به سیال نیوتی می‌شود. همچنین مشخص گردیده است که در یک رینولدز ثابت، در جریان آرام، پدیده لاین پکینگ در سیال غیرنیوتی، نسبت به سیال نیوتی کمی بیشتر است که دلیل آن به ویژگی ثابت زمان رهایی از تنش ارتباط داده می‌شود که به شدت متمایل به نگهدارش انرژی پتانسیل وارد بوده و در مقابل دمپینگ جریان انتقالی مقاومت می‌کند و باعث می‌شود که در مقایسه با سیال نیوتی، زمان میرایی طولانی‌تری داشته باشند.

واژه‌های کلیدی: ضربه قوچ، سیال غیرنیوتی، عدد دبورا، روش عددی تفاضل محدود، لاین پکینگ

Numerical Analysis of the Effect of Non-Newtonian Properties of Fluids on Fluid-hammer Phenomenon in the Pipes

 Norouzi, B.

Gorgan Institute of Higher Education, Gorgan, Iran

(Received: 2023/08/21, Revised: 2023/12/08, Accepted: 2024/01/17, Published: 2024/02/19)

ABSTRACT

In this paper, the behavior of a non-Newtonian polymer through fluid hammer phenomenon in the pipe investigates. Special properties of this fluid such as nonlinear relation between stress and strain, having relaxation time make the pressure wave resulting from this phenomenon to behave differently from a Newtonian fluid. The system under investigation is reservoir-pipe-valve system and the equations representing the conservation of mass and momentum govern the transitional flow in the pipes. In the modeling of the equations finite difference numerical method is used. After defining non-dimensional numbers of governing equations, the effect of Deborah and Reynolds numbers on pressure historic at critical points such as at valve and midpoint investigate. The modeling results show that about investigating sensitivity to the Reynolds number, the pressure wave produced by non-Newtonian polymer shows a sensitivity similar to that of Newtonian fluids. It was also found that an increase in the Deborah number, indicating the elasticity of the polymer, affects the reduction of tensions and increases the oscillation height and consequently attenuation time of the created transient flow to be longer. It has been observed that in similar conditions, the phenomenon of line packing in viscoelastic fluid is slightly higher than in Newtonian fluid. The reason for this is definitely related to the constant characteristic of the relaxation time, which is strongly inclined to maintain the incoming potential energy and resists the damping of the transfer flow, which causes a long damping time compared to the Newtonian fluid have more.

Keywords: Fluid hammer, Non-Newtonian Fluid, Reynolds Number, Deborah Number, Finite difference method, line packing

۱. استادیار: hatami1355@yahoo.com

This article is an open-access article distributed under the terms and conditions of the Creative Commons Attribution (CC BY) license.



۱- مقدمه

جريان انتقالی ناشی از ضربه قوچ در گروه جریانهای میرای غیردائمی طبقه‌بندی می‌شود. هیدرولیک جریانهای میرا برای اولین بار توسط نیوتون^۱ و لاغرانژ^۲ در قرن هفدهم با تحقیق درباره نحوه انتشار امواج صوتی در هوا و انتشار امواج در آبهای کم عمق، مورد مطالعه قرار گرفت. پس از آنها، مطالعات در این زمینه به‌طور گسترشده ادامه یافت. در خلال ربع اول قرن بیستم، بیشتر مطالعات انجام شده در زمینه ضربه قوچ، درقاره اروپا بوده است و بیشتر مفاهیمی که مورد بررسی قرار گرفت، مربوط به مبحث سرج بود که توسط ژوکوفسکی منتشر گردید. همچنین او قانون محاسبه مقدار فشار در اثر بستن آنی شیر را برای سیستم ساده شیر، لوله و مخزن به‌دست آورد[۱]. بر این اساس، تاکنون، مطالعات مختلفی با استفاده از روش‌های عددی گوناگون، پدیده ضربه قوچ را مورد بررسی قرار داده‌اند. در مدل‌های کلاسیک و معمول روابط ضربه قوچ جهت مدل‌سازی ترم اصطکاک، معمولاً از مقادیر ماندگار و شبه ماندگار ضریب اصطکاک استفاده می‌شود. این فرضیات، زمانی نتایج قابل قبول خواهند داشت که تغییرات جریان اندک باشد که در این حالت تنش‌های برشی دیوار، رفتاری شبی استاتیکی از خود بروز می‌دهد. از بارزترین تحقیقات انجام شده در زمینه اصطکاک غیرماندگار می‌توان به مقاله تحلیلی زیلک^۳[۲] اشاره نمود. وی در این تحقیق برای جریانهای غیردائمی لایه‌ای در حالت تک بعدی روابطی تحلیلی بدست آورد که همچنان به عنوان مرجع برای مقایسه دیگر مسائل مشابه به کار می‌رود. یکی از مشکلات استفاده از این مدل، پیچیده بودن آن و نیاز به محاسبات قبل ملاحظه کامپیوتری است. در حقیقت، به علت وابسته بودن اصطکاک غیرماندگار به تاریخچه سرعت از شروع غیرماندگاری، لازم است که برای همه گامهای زمانی، محاسبات تکرار گردد، بهمین سبب نیاز به پردازش قابل توجهی می‌باشد، که هزینه محاسباتی بالایی را در پی دارد. پس از آن، پژوهش‌های متعددی در زمینه مدل‌سازی ضربه قوچ انجام گرفت که ضمن برخورداری از دقت محاسباتی مطلوب، هزینه محاسباتی مناسبی نیز برای کاربردهای عملی داشته باشند. تایسلینگ^۴

فهرست علائم و اختصارات

قطر لوله (m)	<i>D</i>
عدد دبورا	<i>De</i>
مدول بالک ($\text{kgm}^{-1}\text{s}^2$)	<i>E</i>
ضخامت لوله (m)	<i>e</i>
هد فشار (m)	<i>H</i>
عدد ماخ	<i>M</i>
تابع شکل	<i>N</i>
فشار ($\text{kgm}^{-1}\text{s}^{-2}$)	<i>P</i>
توان پایه شعاعی	<i>R(r_{ij})</i>
فاصله شعاعی از مرکز لوله (m)	<i>r</i>
عدد رینولدز	<i>Re</i>
زمان (s)	<i>t</i>
مقدار تابع در یک نقطه گره‌ای	<i>U(x_j)</i>
سرعت متوسط جریان (ms^{-1})	<i>V</i>
سرعت اولیه جریان (ms^{-1})	<i>v_0</i>
نقطه گره‌ای	<i>x</i>
علایم یونانی	
ضریب به کاررفته در فرمول مقدار تابع	<i>α</i>
ضخامت لایه‌مرزی (m)	<i>δ</i>
لزجت دینامیکی ($\text{kgm}^{-1}\text{s}^{-1}$)	<i>η</i>
ثابت زمانی رهایی از تنش یا آرامش (s)	<i>λ</i>
نسبت پواسون	<i>ν</i>
جرم مخصوص سیال (kgm^{-3})	<i>ρ</i>
تنش‌های برشی ($\text{kgm}^{-1}\text{s}^{-2}$)	<i>τ</i>
میانگین تنش‌های برشی ($\text{kgm}^{-1}\text{s}^{-2}$)	<i>τ̄</i>
بالاترین‌ها	
گام زمانی قبل	<i>n</i>
گام زمانی بعد	<i>n + 1</i>
زیرنویس‌ها	
سیال	<i>f</i>
مختصات نقطه گره‌ای در راستای محور افقی	<i>i</i>
مختصات نقطه گره‌ای در راستای محور عمودی	<i>j</i>
مختصات نقطه مجھول در راستای دلخواه	<i>k</i>
مصالح لوله	<i>p</i>
راستای شعاعی لوله	<i>r</i>
راستای محور مرکزی لوله	<i>z</i>

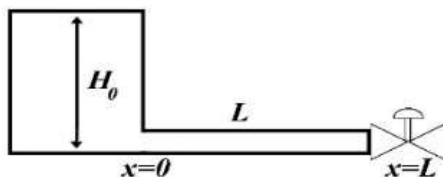
¹Newton²Lagrange³Zielk⁴Tijsseling

اعداد رینولدز در حالات جریان مختلف آرام، آشفته و انتقالی مورد مقایسه قرار دادند و نشان دادند که مدل زیلک با نتایج آزمایشگاهی به دست آمده برآش مناسبتری نمایش می‌دهد. حالات خاص رخداد پدیده ضربه قوچ نیز در مطالعات اخیر مورد توجه قرار گرفته است. یکی از مقالات مرتبط با موضوع پژوهش حاضر، توسط وهبا^[۶] صورت گرفته است. در این مقاله وی اثرات ناشی از بستن سریع شیر را بر جریان حاوی سیال قانونی^[۷] در یک لوله با سطح مقطع دایره ای مورد بررسی قرار داده است. او از روش عددی تفاضل محدود شبه دوبعدی برای تحلیل نتایج استفاده نموده است، بدین ترتیب که برای عبارتهای مکانی از تفاضل مرکزی مرتبه دوم و برای انتگرالگیری زمانی از رانج کوتای مرتبه چهارم استفاده نموده و نتیجه گرفته است که جریان غیر ماندگار لایهای به شدت تحت تاثیر اثرات غیر نیوتونی سیال، شامل رفتار نازک شدگی برش و ضخیم شدن برش، قرار می‌گیرد. همچنین اشاره کرده است که افزایش ضخیم شدن برش سیال، سبب میرایی شدیدی در جریان گذرا می‌شود. به طور کل، مطالعات صورت گرفته در زمینه ضربه قوچ سیال غیرنیوتونی به مراتب کمتر از سیال نیوتونی است. از طرفی سیالات ویسکوالاستیک گروه مهمی از سیالات غیر نیوتونی هستند که خواص ویسکوز و الاستیک را به صورت توامان دارا می‌باشند، لذا این مواد دارای خواص همزمان حامد و سیال هستند. حل عددی جریان این‌گونه سیالات، با توجه به پیچیده بودن معادلات حاکم بر آنها همواره چالش برانگیز بوده است. نوروزی و همکاران^[۷]، در مطالعه‌ای به بررسی سه بعدی جریان ناپایای سیال ویسکوالاستیک حول کرده در محیط بی‌نهایت پرداختند و از مدل غیرخطی گزیکس به عنوان معادله متشکله سیال ویسکوالاستیک استفاده نمودند. حل معادلات مومنتم و معادلات متشکله سیال در این تحقیق، توسط کد عددی منبع باز اپن فوم که از روش حجم محدود، جهت مدل‌سازی معادلات حاکم بر جریان استفاده می‌کند، انجام گرفته است. نتایج مطالعات آنها نشان داد که در اعداد رینولدز بالا اثرات خواص الاستیک بر روی رژیم جریان ناچیز بوده و عدد رینولدز در ناپایداری گردابهای تولیدی سیال ویسکوالاستیک، در پشت کره نقش بارزتری ایفا

[۳] روش متفاوت را در محاسبات ضربه قوچ به کار برد. روش او بر مبنای روش مشخصه پی‌ریزی شده بود با این تفاوت که در محاسبات او به یک شبکه عددی نیاز نبود و هر نقطه در نمودار $t-X$ می‌توانست جهت محاسبه جواب موضعی بدون اینکه به وضوح از جوابهای قبلی ذخیره شده استفاده شود، انتخاب گردد. محاسبات او بر روی مسیر امواج چرخشی برگشتی با یک برگشت خیلی ساده پی‌ریزی شده بود. در مطالعه او، جوابهای دقیق برای یک ضربه قوچ بدون اصطکاک به دست آورده شدند و نتایج حاصل از الگوریتم جدید ارائه شده با محاسبات ضربه قوچ متداول مقایسه شدند. علی محمدیان و همکاران در مطالعه‌ای به بررسی عددی ساختار جریان و انتقال حرارت دوفاز در میکرو کانالهایی با قطرهای هیدرولیکی مختلف پرداختند. در پژوهش آنها از نرم افزار فلورنت استفاده شده و برای مدل‌سازی تغییر فاز در این نرم افزار برنامه نویسی انجام گردیده است. نتایج مطالعه آنها در میکرو کانالها با اشکال مختلف نشان داد که میکرو کانالهای مربعی، دایروی و ذوزنقه به ترتیب بیشترین ضربه انتقال را دارا هستند^[۲۰]. مoidی و بیگلو یک راهبرد شبیه‌سازی عددی مستقیم با استفاده از طرح عددی آرایکاوا برای معادله جریان انتقالی در یک حوزه با فرض نیروی اجباری متکی بر باد با دو هسته در یک مدل یک لایه به کار گرفتند. و نتیجه گرفتند که افزایش دو عدد رینولدز و راسی منجر به اضمحلال برخی گردابهایی به دلیل کاهش استهلاک لازم برای بقای آشفتگی در گذر زمان خواهد شد^[۲۱]. نوروزی و همکاران در مطالعه‌ای میزان تأثیرپذیری سیالات نیوتونی، فوق همرفتی ماسکول و نیز اولدرودی^{-۱} را نسبت به تغییرات عدد رینولدز در شرایط رخداد ضربه قوچ جریان آرام در لوله مورد مدل‌سازی و مقایسه قرار دادند و نتیجه گرفتند که در شرایط رینولدز ثابت، سیال نیوتونی کمترین و سیال فوق همرفتی ماسکول، بیشترین هد نوسانات جریان انتقالی را به خود اختصاص می‌دهند^[۲۵]. شاملو و همکاران^[۴] در مطالعه‌ای به بررسی یک بعدی جریانهای انتقالی در لوله‌ها با در نظر گرفتن اثرات اصطکاک غیر دائمی پرداختند. آنها در این مقاله یک مدل شبیه دائمی و چهارف مدل اصطکاک غیر دائمی را برای جریان لوله ای انتقالی ارائه دادند و نتایج آزمایشگاهی به دست آمده را با مدل اصطکاک شبیه دو بعدی توسط زیلک و واردی و براون^[۵] برای ضربه قوچ با

^۱ Wahba^۲ Power law

پس از بی‌بعد سازی معادلات، تأثیر اعداد بی‌بعد بر تاریخچه فشاری و تنش‌های برشی در نقاط بحرانی لوله مورد بررسی قرار گرفته است. نتایج به دست آمده در قالب نمودار، ترسیم و مورد تجزیه و تحلیل قرار گرفته است.



شکل (۱). نمایی از سیستم شیر - لوله و مخزن

۲- فرمولبندی مسئله

۱-۲- معادلات حاکم

معادلات حاکم بر جریان‌های انتقالی، در حالت کلی، معادلات پیوستگی و مومنتوم هستند که در سیستم مختصات قطبی به صورت معادلات (۱) و (۲) تعریف می‌شوند [۱۲].

$$\frac{\partial H}{\partial t} + v_z \frac{\partial H}{\partial z} + \frac{c^2}{g} \left(\frac{\partial(rv_r)}{\partial r} + \frac{\partial v_z}{\partial z} \right) = 0 \quad (1)$$

$$\rho \left[\frac{\partial v_z}{\partial t} + v_r \frac{\partial v_z}{\partial r} + v_z \frac{\partial v_z}{\partial z} \right] + \frac{\partial p}{\partial z} \quad (2)$$

$$+ \left[\frac{\partial(r\tau_{rz})}{\partial r} + \frac{\partial\tau_{zz}}{\partial z} \right] = 0$$

در معادلات فوق، H هد فشار، t زمان، v_z سرعت محوری، v_r سرعت شعاعی، τ_{rz} و τ_{zz} تنش‌های برشی در وجود مختلف، z محور مرکزی لوله، r فاصله شعاعی از مرکز لوله، p فشار، ρ جرم مخصوص سیال و c سرعت موج می‌باشد که به صورت معادله (۳) محاسبه می‌شود.

$$c^2 = \frac{\frac{E_f}{\rho}}{1 + k \frac{E_f D}{\rho E_p}} \quad (3)$$

که E_f مدول بالک سیال، E_p مدول الاستیک لوله، e ضخامت و D قطر لوله می‌باشد. همچنین k در معادله فوق، تابعی از نسبت پواسون مصالح لوله v_p بوده که در مسائل ضربه قوچ، معادل ۱ در نظر گرفته می‌شود [۶]. لازم به ذکر است که از ترمهای همرفتی صرف‌نظر شده و سرعت شعاعی جریان نیز در جداره لوله و محور مرکزی، صفر در نظر گرفته می‌شود [۱۳، ۱۴]. با انتگرالگیری از معادلات (۱) و (۲)، صورت کلی معادلات پیوستگی و مومنتوم حاکم بر

می‌کند. مورا و مونا^۱ [۸] با در نظر گرفتن مدل ماکسول^۲ برای سیال ویسکوالاستیک جایجاکننده، تأثیر خاصیت الاستیک این نوع سیال را مورد بررسی قرار دادند. پول و همکاران [۹] جریان خرزشی سیال ویسکوالاستیک را با دو مدل ماکسول بالادست و اولدروید-بی مورد مطالعه قرار دادند و سپس با استفاده از مدل ماکسول، تأثیر نسبت انبساط را بر روی الگوی جریان خرزشی این سیالات، بررسی نمودند. شکری و همکاران [۱۰، ۱۱] با کمک مدل اولدروید-بی^۳ به شبیه‌سازی جایجاکی جریان نیوتونی توسط سیال ویسکوالاستیک در محیطی همسانگرد و ناهمسانگرد پرداختند. نتایج آن‌ها نشان داد که خاصیت الاستیک سیال بر اساس بررسی‌های صورت‌گرفته مشخص گردید که مدل سازی پدیده ضربه قوچ در شرایطی که یک سیال غیرنیوتونی در لوله در جریان باشد، به صورت جدی انجام نشده است. دلیل آن را می‌توان به ویژگی‌های خاص این سیالات نظیر رابطه غیرخطی بین تنش‌های برشی وارد بر سیال با تغییرات نرخ برش، وجود اختلاف تنش‌های نرمال اول و دوم در این سیالات... ارتباط داد. در پژوهش حاضر، به مدل سازی جریان گروه خاصی از سیالات غیرنیوتونی به نام سیالات ویسکوالاستیک پرداخته شده است. این گروه از سیالات، موادی هستند که ویژگی‌های ویسکوز و الاستیک را به صورت توانمند دارا می‌باشند و لذا این مواد دارای خواص هم‌زمان جامد و سیال هستند. دارابودن ویژگی ثابت زمان رهایی از تنش و نیز وجود اختلاف تنش‌های نرمال در سیالات ویسکوالاستیک سبب بروز رفتارهای عجیب و بعضًا متضاد در این سیالات نسبت به سایر سیالات می‌شود. مسئله مورد بررسی، یک سیستم کلاسیک شامل شیر - لوله و مخزن است که در اثر بسته شدن شیر انتهای لوله، مقادیر فشار و سرعت در طول لوله دچار نوسان می‌گردند (شکل ۱). در ابتدا معادلات جریان غیرمانندگار در حالت کلی نوشته شده و سپس از روابط مدل فوق همرفتی ماکسول برای جای‌گذاری مقادیر تنش در معادله مومنتوم استفاده شده است. در ادامه، روش عددی دو گام زمانی لакс - فردیش^۴ برای گسسته‌سازی معادلات، معرفی و

¹ Mora & Manna

² Maxwell model

³ Oldroyd-B model

⁴ Lax-Fredrichshk

مختصات قطبی برای محاسبه τ استخراج می‌شود که دو معادله آن $\bar{\tau}_{rz}$ و $\bar{\tau}_{zz}$ برای جایگذاری در معادله مومنتوم نیاز است. بهمنظور جایگذاری روابط تنش در معادله مومنتوم، پروفیل توزیع سرعت در جریانهای آرام باید در نظر گرفته شود:

$$v_z = \begin{cases} \bar{V} & r < R - \delta \\ \bar{V}(R - r) & R - \delta < r < R \\ \delta & \end{cases} \quad (12)$$

که δ ضخامت لایه مرزی و r فاصله شعاعی از مرکز لوله می‌باشد. با جایگزینی مقادیر مناسب مشتقات سرعت در معادلات (۸) الی (۱۱) و انتگرالگیری از آنها، تنش‌های متوسط در جریانهای غیر دائم محاسبه می‌شود. بنابراین، ۴ معادله اساسی حاکم بر جریان سیال ویسکوالاستیک در حالت رخداد ضربه قوچ در یک سیال ویسکوالاستیک بهصورت معادلات (۱۳-۱۶) درنظر گرفته می‌شوند:

$$\frac{\partial H}{\partial t} + \frac{c^2}{g} \left(\frac{\partial \bar{V}}{\partial z} \right) = 0 \quad (13)$$

$$\frac{\partial \bar{V}}{\partial t} + g \frac{\partial H}{\partial z} - \frac{2}{\rho R} \bar{\tau}_{rz} - \frac{1}{\rho} \frac{\partial \bar{\tau}_{zz}}{\partial z} = 0 \quad (14)$$

$$\bar{\tau}_{rz} + \lambda \frac{\partial \bar{\tau}_{rz}}{\partial t} = -\eta \frac{\bar{V}}{\delta} \quad (15)$$

$$z + \lambda \frac{\partial \bar{\tau}_{zz}}{\partial t} = 2\eta \frac{\partial \bar{V}}{\partial z} \quad (16)$$

لازم به ذکر است که معادلات حاکم بر ضربه قوچ کلاسیک که در آن، سیال نیوتونی در لوله جریان دارد، حالت خاصی از معادلات (۱۳) الی (۱۶) بوده که در آن، برای جایگذاری ترم تنش در معادله مومنتوم از روابط جریان پایدار استفاده شده، بنابراین، معادلات حاکم بر ضربه قوچ کلاسیک بهصورت معادلات (۱۷) و (۱۸) تعریف می‌شوند [۱].

$$\frac{\partial H}{\partial t} + \frac{c^2}{g} \left(\frac{\partial \bar{V}}{\partial z} \right) = 0 \quad (17)$$

$$\frac{\partial \bar{V}}{\partial t} + g \frac{\partial H}{\partial z} + \frac{f \bar{V} |\bar{V}|}{2D} = 0 \quad (18)$$

۳-۲- بی بعد سازی

متغیرها و پارامترهای بدون بعد به کاررفته عبارتند از:

$$\begin{aligned} \bar{V}^* &= \frac{\bar{V}}{v_0} & H^* &= \frac{H}{cv_0/g} & z^* &= \frac{z}{D} \\ t^* &= \frac{t}{D/c} & \bar{\tau}^* &= \frac{\bar{\tau}}{\rho cv_0} & Re &= \frac{\rho v_0 D}{\eta} \\ De &= \frac{D/v_0}{\lambda} & M &= \frac{v_0}{c} & & \end{aligned} \quad (19)$$

که v_0 سرعت اولیه جریان، De عدد دبورا، عدد M ماخ و Re عدد رینولدز می‌باشد. با توجه به پارامترهای

ضربه قوچ ویسکوالاستیک، به فرم معادلات (۴) و (۵) محاسبه می‌شود:

$$\frac{\partial H}{\partial t} + \frac{c^2}{g} \left(\frac{\partial \bar{V}}{\partial z} \right) = 0 \quad (4)$$

$$\frac{\partial \bar{V}}{\partial t} + g \frac{\partial H}{\partial z} - \frac{2}{\rho R} \bar{\tau}_{rz} - \frac{1}{\rho} \frac{\partial \bar{\tau}_{zz}}{\partial z} = 0 \quad (5)$$

که در معادلات (۴) و (۵)، R شعاع لوله، \bar{V} سرعت متوسط جریان، $\bar{\tau}_{rz}$ و $\bar{\tau}_{zz}$ میانگین تنش‌های برشی در وجود مختلف می‌باشند که بهصورت معادلات (۶) و (۷) تعریف می‌شوند:

$$\bar{V} = \frac{1}{A} \int v dA \quad (6)$$

$$\bar{\tau} = \frac{1}{A} \int \tau dA \quad (7)$$

۲-۲- معادلات ساختاری

معادله ساختاری معادله‌ای است که روابط بین تنش و برش یک ماده را مشخص می‌کند. به دلیل رفتار پیچیده و جالب گروهی از سیالات غیرنیوتونی به نام سیالات ویسکوالاستیک معادلات ساختاری بسیاری برای بیان روابط این سیالات پیشنهاد شده است. این مدل‌ها بر پایه تلفیق خواص جامد خطی و سیال نیوتونی بنا شده‌اند. یکی از اولین و معروف‌ترین مدل‌های ویسکوالاستیک مدل فوق همرفتی ماسکول است. در این مدل، قانون پایه بر اساس یک فر و دمپر سری تعریف می‌شود [۱۵]. توزیع تنش پلیمری مدل سیال غیرنیوتونی بهصورت معادله (۸) قابل توصیف است [۱۶].

$$\tau + \lambda \dot{\tau} = \eta \dot{v} \quad (8)$$

که η لزجت سیال ویسکوالاستیک است و \dot{v} تانسور نرخ کرنش بوده و به شکل معادله (۹) تعریف می‌شود.

$$\dot{v} = (\nabla v) + (\nabla v)^T \quad (9)$$

همچنین λ زمان رهایی از تنش است که نسبتی از لزجت سیال η به مدول برشی G می‌باشد.

$$\lambda = \frac{\eta}{G} \quad (10)$$

و $\dot{\tau}$ مشتق همرفتی توزیع تنش پلیمری است که از رابطه‌ی (۱۲) قابل محاسبه است.

$$\dot{\tau} = \frac{\partial \tau}{\partial t} + v \cdot \nabla \tau - ((\nabla v)^T \cdot \tau + \tau \cdot (\nabla v)) \quad (11)$$

در این مدل، اگر مقدار زمان رهایی از تنش به صفر می‌کند، از ترم مشتق صرف‌نظر شده و معادله ساختاری سیال نیوتونی پدیدار می‌شود [۱۲]. با به کارگیری تعاریف پارامترهای موردنیاز برای گرادیان سرعت، گرادیان سرعت ترانهاده و قوانین ضرب تانسوری [۱۲]، نه معادله در سیستم

نظر گرفته شده که با باز شدن شیر پایین دست و جاری شدن آب در داخل لوله، تغییرات ارتفاع آب مخزن، ناچیز، باشد [۲۳]؛ لذا شرط مرزی بالادست جریان، مطابق معادله (۲۷) در نظر گرفته می‌شود.

$$H_1 = H_{Rss} = \text{cons.} \quad (27)$$

که در آن، H_1 ، هد مربوط به گره متصل به مخزن، می‌باشد. از طرفی در پایین دست جریان که خط لوله به شیر متصل است، با بسته شدن ناگهانی شیر، جریان انتقالی در لوله به وجود آمده و سرعت متوسط جریان در پشت شیر، صفر می‌شود. بنابراین، شرط مرزی پایین دست، مطابق معادله (۲۸) لحاظ می‌گردد.

$$\bar{V}_n = 0 \quad (28)$$

که در آن، \bar{V}_n ، سرعت مربوط به گره متصل به شیر، می‌باشد.

۳- نتایج مدل‌سازی

در این بخش، محلول پلیمری که مشخصات ظاهری آن، با توجه به بسپارهای جدول ۱ محاسبه شده است، به عنوان یک سیال ویسکوالاستیک، تحت پدیده ضربه قوچ در سیستم شیر، لوله و مخزن قرار گرفته و تغییرات زمانی هد فشار در نقاط بحرانی آن، نظیر پشت شیر و وسط لوله مورد بررسی قرار گرفته است.

جدول (۱). محدوده ثابت زمان رهایی از تنفس و ویسکوزیته [۱۵]

زمان رهایی از تنفس (۵)	ویسکوزیته دینامیکی (Pa.s)	شماره پلیمر
1.6362e-04	1.7328	1
0.0148.	2.7690	2
0.0280	6.0020	3
4.1824	8.6953	4
$\bar{\lambda} = \frac{\sum \eta_i \lambda_i}{\sum \eta_i} = 1.9$	$\bar{\eta} = 0.08918$	نمونه

لازم به ذکر است که از آنجاکه اطلاعات آزمایشگاهی معتبری در مورد به کارگیری سیال ویسکوالاستیک در شرایط رخداد ضربه قوچ در لوله، در دسترس نیست، نتایج به دست آمده با نتایج آزمایش هولم بو و رولیو [۲۲] که با یک سیال نیوتونی انجام شده مقایسه می‌گردد، به همین دلیل به غیراز جنس سیالات ویسکوالاستیک، سایر مشخصات فیزیکی آزمایش، نظیر قطر، طول لوله، سرعت موج و مشابه اطلاعات آزمایش ذکر شده است که در جدول ۲ نشان داده شده است.

معرفی شده در روابط (۱۹) فرم بی‌بعد معادلات به صورت معادلات (۲۰-۲۳) محاسبه می‌شود.

$$\frac{\partial H^*}{\partial t^*} + \frac{\partial \bar{V}^*}{\partial z^*} = 0 \quad (20)$$

$$\frac{\partial \bar{V}^*}{\partial t^*} + \frac{\partial H^*}{\partial z^*} - 4\bar{\tau}_{rz}^* - \frac{\partial \bar{\tau}_{zz}^*}{\partial z^*} = 0 \quad (21)$$

$$\bar{\tau}_{rz}^* + \frac{De \partial \bar{\tau}_{rz}^*}{M \partial t^*} = -8M \frac{Re}{\bar{V}^*} \quad (22)$$

$$\bar{\tau}_{zz}^* + \frac{De \partial \bar{\tau}_{zz}^*}{M \partial t^*} = 2 \frac{M}{Re} \frac{\partial \bar{V}^*}{\partial z^*} \quad (23)$$

۴-۲ روش عددی

در این تحقیق، از روش دو گام زمانی لاسک - فردريش استفاده می‌شود. به طور کلی، در روش‌های چند گام زمانی، از معادلات تفاضل محدود با مراحل زمانی مختلف استفاده می‌شود [۲۲]. در این روش‌ها، از شبکه جایه‌جاشده استفاده می‌شود. نقاط شبکه جایه‌جاشده را می‌توان به هر دو شکل زیر تعریف نمود:

$$x_{i+\frac{1}{2}} = \frac{1}{2}(x_{i+1} + x_i) \quad (24)$$

$$x_{i+\frac{1}{2}} = x_i + \frac{1}{2}\Delta x \quad i = 1, 2, \dots, M-1$$

در روش‌های چند گامی، اولین گام در نقطه میانی $i + \frac{1}{2}$ اعمال می‌شود. گسسته سازی در راستای بعد زمانی نیز در محدوده $[0, t_{\max}]$ توسط گام‌های زمانی تا رسیدن به گام نهایی صورت می‌پذیرد:

$$t^0 = 0, t^{n+1} = t^n + \Delta t \quad n = 1, 2, \dots, N-1 \quad (25)$$

روش‌های چند گامی از معادلات تفاضل محدود با مراحل زمانی مختلف استفاده می‌کند. روش به کار رفته در این تحقیق، دو گام زمانی است، یعنی هر گام زمانی به دونیم گام زمانی تقسیم می‌شود:

$$t^{n+\frac{1}{2}} = t^n + \frac{1}{2}\Delta t \quad (26)$$

در این روش‌ها علی‌رغم اینکه محاسبات کمی پیچیده می‌شود و زمان عملیات نیز تا حدودی افزایش می‌یابد، اما نتایج به دست آمده از همگرایی و دقت مناسب‌تری برخوردار می‌شود.

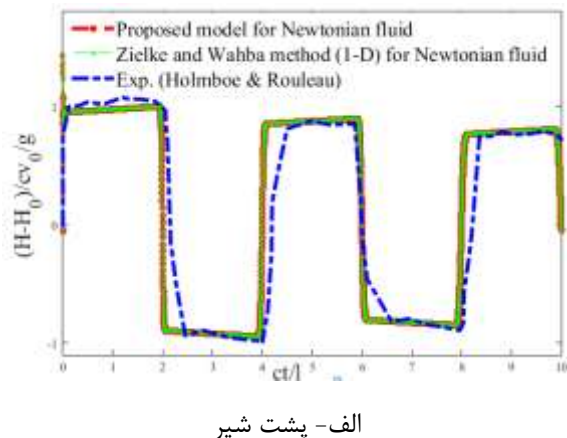
۵-۲ شرایط مرزی

در رخداد پدیده ضربه قوچ، فرض می‌شود، خط لوله در بالادست، به مخزنی با هد ثابت، متصل است، در واقع در این مسائل، سطح مقطع مخزن، به میزان کافی، بزرگ در

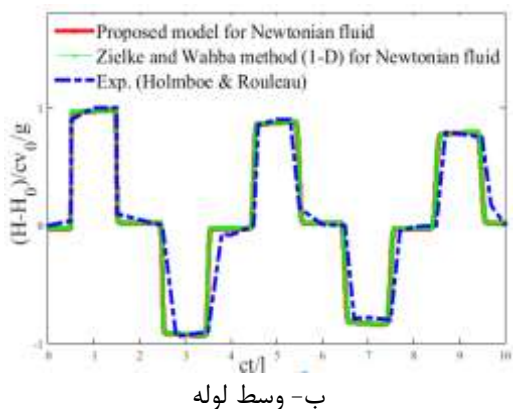
به طور آنی بر جریان، وارد نشود؛ بلکه پس از گذشت زمانی معادل زمان رهایی از تنفس سیال ویسکوالاستیک که بسته به جنس آنها متفاوت است، بر جریان وارد می‌شود، بنابراین استهلاک موج ایجاد شده با سرعت و قدرت کمتری اتفاق می‌افتد. جهت بررسی دقیق‌تر رفتار موج فشاری، مدل‌سازی عددی برای محلول‌های پلیمری دیگری که دارای غلظت و وزن مولکولی کمتر و در نتیجه زمان رهایی از تنفس کمتر از پلیمر موردنظر هستند، نیز انجام گرفته و مورد تفسیر قرار گرفته است. لازم به ذکر است که عدد ماخ در پدیده ضربه قوچ، بسیار کم $M << 1$ است [۱۴]، به همین علت از بررسی اثرات آن، صرفنظر شده است.

۴- اعتبارسنجی مدل پیشنهادی

جهت اعتبارسنجی نتایج مدل پیشنهادی با نتایج دو روش عددی بر اساس اطلاعات آزمایش هولمبو و روئو که مشخصات آن در جدول ۲ ارائه گردیده است، مورد مقایسه قرار می‌گیرد:



الف- پشت شیر



ب- وسط لوله

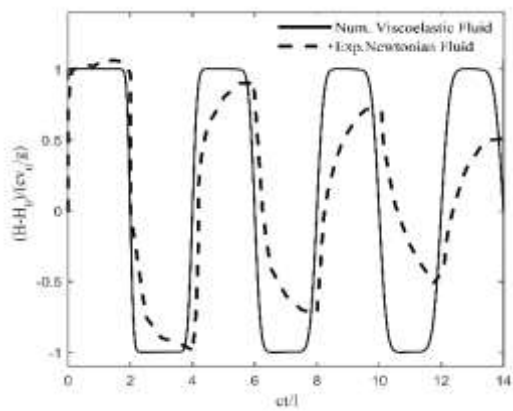
شکل (۳). اعتبارسنجی مدل پیشنهادی

بادقت در شکل شماره ۳، دو نکته قابل بررسی است. نخست اینکه، مدل پیشنهادی برای تحلیل رفتار سیالات

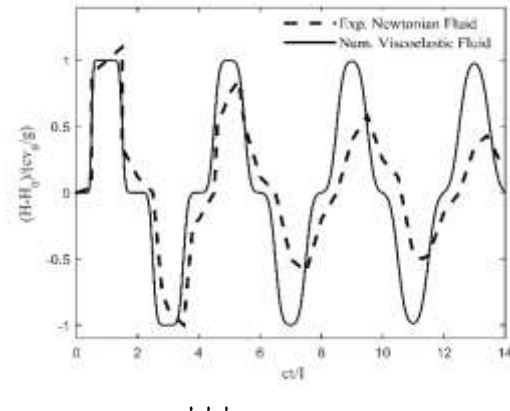
جدول (۲). مشخصات سیال و لوله [۲۲]

مقادیر	مشخصات آزمایش
36.09	طول لوله (m)
0.13	سرعت متوسط (m/s)
1324	سرعت موج (m/s)
0.0254	قطر داخلی لوله (m)
0.03483	ویسکوزیته دینامیکی (pa.s)
878	جرم مخصوص سیال kg/m ³
81.76	عدد رینولدز

با توجه با اطلاعات مندرج در جدول ۲، مقایسه‌ای بین رفتار پلیمر مورد بررسی با سیال نیوتونی آزمایش هولمبو و روئو [۲۲] صورت گرفته است.



الف- پشت شیر



ب- وسط لوله

شکل (۲). مقایسه تاریخچه فشاری در سیال نیوتونی و

غیرنیوتونی در طول پدیده ضربه قوچ با توجه به شکل‌های "۲-الف" و "۲-ب"، در مقایسه صورت گرفته بین سیال نیوتونی و سیال غیرنیوتونی، زمان میرایی موج ناشی از سیال غیرنیوتونی طولانی‌تر است، در واقع، ویژگی‌های متفاوت سیال ویسکوالاستیک غیرنیوتونی، نظیر دارابودن ثابت زمانی رهایی از تنفس، باعث می‌شود که شوک ناگهانی وارد بر جریان در اثر بسته شدن سریع شیر،

باتوجهه به شکل ۴، با افزایش عدد دبورا زمان میرایی موج حاصل از جریان انتقالی ناشی از ضربه قوچ، افزایش می‌یابد. در دبوراهای بسیار پایین، رفتار موج ایجاد شده مشابه حالت نیوتونی است. در سیال نیوتونی، وقتی که شیر به طور ناگهانی بسته می‌شود، سرعت سیال مجاور آن با ضربه‌ی ناشی از فشار بیشتری که در سطح شیر توسعه داده شده، سریعاً از مقدار اولیه به صفر کاهش می‌یابد. به‌محض توقف لایه اول سیال، به طور مشابه، لایه بعدی نیز متوقف می‌شود. به این طریق یک موج ضربه‌ای با فشار بالا با سرعت موج نزدیک به سرعت صوت و در یک فشار کافی به سمت بالادست جریان حرکت می‌کند تا حرکت سیال را در طول لوله متوقف کند، موج حاصله پس از طی مسیر رفت و برگشتی در طول لوله به‌تدريج میرا می‌شود [۱]. اما در سیالات ویسکوالاستیک بر خلاف سیالات نیوتونی، سرعت جریان، پس از بسته شدن ناگهانی شیر به طور آنی صفر نمی‌شود، بلکه این کاهش سرعت، در یک بازه زمانی معادل زمان رهایی از تنش سیال ویسکوالاستیک رخ می‌دهد [۲۵-۲۴]؛ بنابراین، انتظار می‌رود که زمان میرایی موج حاصله به دلیل عدم تأثیر آنی شوک ناشی از بسته شدن شیر، کمی طولانی‌تر شود. از طرفی بنا بر معادلات مدل ماکسول، معادلات (۱۶) و (۱۷)، تغییرات زمان رهایی از تنش، بر تنش‌های برشی در وجود مختلف نیز تأثیرگذار است که اگر نمودار تنش‌های برشی کل در این حالت، نسبت به تنش‌های وارد در حالت کلاسیک، ترسیم گردد، تأثیر این تغییرات بر میزان تنش‌های وارد، قابل مشاهده است [۲۶-۲۷]. لازم به ذکر است که در ضربه قوچ کلاسیک جهت محاسبه تنش وارد بر لوله از روابط جریان پایدار استفاده می‌شود و فرض بر آن است که سرعت جریان، معادل سرعت اولیه در طول لوله است، در حالی که در محاسبه تنش‌های ضربه قوچ در مطالعه حاضر، از روابط سیال غیرنیوتونی استفاده شده است. تنش‌های موجود در معادلات (۱۶) و (۱۷) در وجود مختلف r و z در راستای محوری بر لوله اعمال می‌شوند که در ادامه نمودار تغییرات مجموع این تنش‌ها نسبت به تنش حالت ضربه قوچ کلاسیک در محلولهای پلیمری مذکور در محل وسط لوله ترسیم گردیده است:

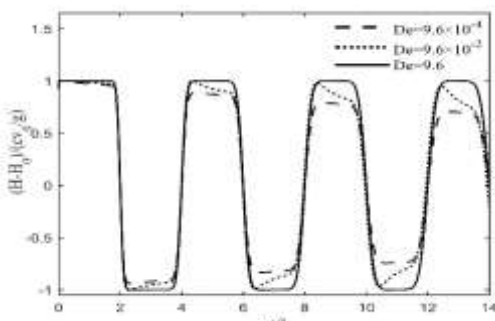
غیرنیوتونی، بدون لحاظ ویژگی‌های ویسکوالاستیکی سیال، بر نتایج روش‌های عددی معتبری مانند روش زیلک در حالت ویسکوزیته ثابت و همچنین، روش عددی و هبا منطبق است که دقت و اعتبار مدل پیشنهادی برای تحلیل رفتار سیال در طی رخداد ضربه قوچ را نشان می‌دهد و از طرفی همانگونه که در مطالعات زیلک و وهبا [۶۲] اشاره شده است، علت عدم انطباق کامل مدل‌سازی عددی بر نتایج آزمایشگاهی در برخی نقاط، مدل‌سازی یک بعدی مسئله [۶] و در نظر گرفتن ویسکوزیته در حالت جریان دائمی [۲] می‌باشد.

۵- بحث و نتایج

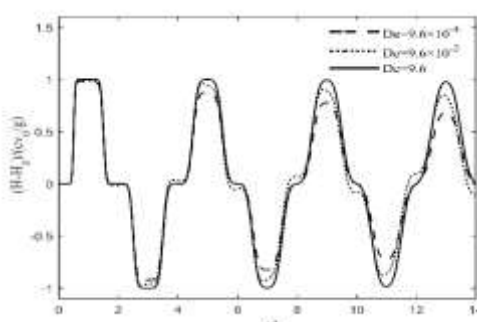
باتوجهه به نتایج مدل‌سازی تأثیر اعداد بی بعد حاصل از معادلات در طول پدیده ضربه قوچ سیال غیرنیوتونی به تفکیک بررسی می‌گردد.

۱-۱- بررسی تأثیر عدد دبورا

جهت بررسی تأثیر عدد دبورا بر تاریخچه فشار ضربه قوچ ویسکوالاستیک، محلولهای پلیمری رقیق‌تر با زمان‌های رهایی از تنش کمتر از ۱.۹ که به دبوراهای کمتر از ۹.۶ می‌انجامد، مدل‌سازی و نتایج به‌دست‌آمده مورد بررسی قرار گرفته است.



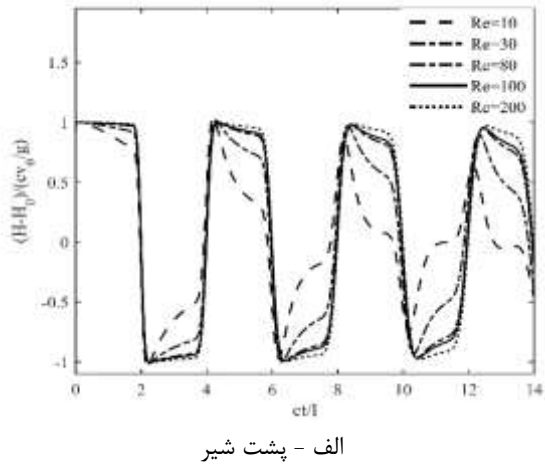
الف - پشت شیر



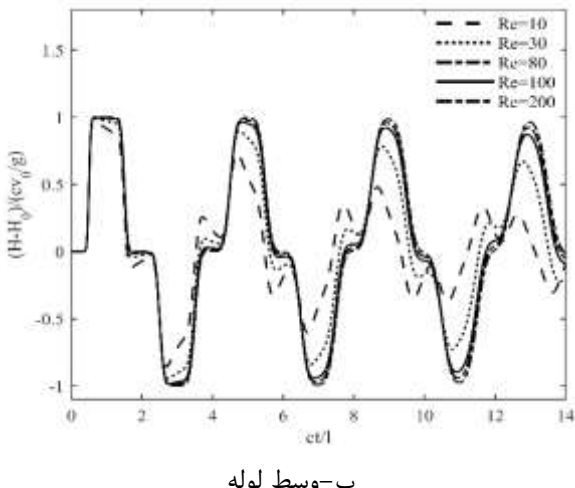
ب-وسط لوله

شکل (۴) تأثیر عدد دبورا بر تاریخچه فشار

محدوده عملی مورد مطالعه قرار گیرد. لازم به ذکر است که ضربه قوچ مورد بررسی در پژوهش حاضر، در حالت جریان آرام در لوله بوده و تغییرات عدد رینولدز می‌باشد در این محدوده اعمال گردد. در ادامه، تاثیر عدد رینولدز بر رفتار موج فشاری ناشی از ضربه قوچ در یکی از محلولهای رقیق پلیمری با $De = 0.1$ نشان داده شده است.



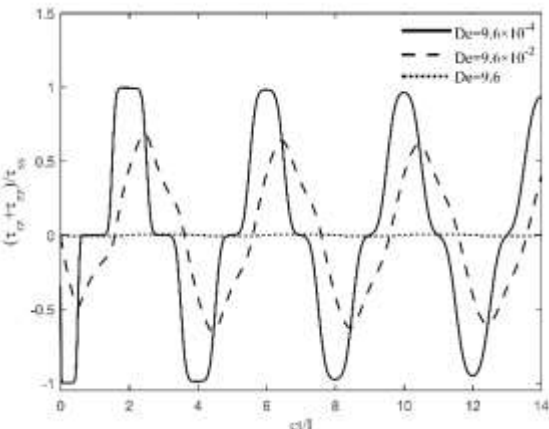
الف - پشت شیر



ب-وسط لوله

شکل (۶). تأثیر عدد رینولدز بر تاریخچه فشار در سیال غیر نیوتونی

با توجه به شکل ۶ در رینولدزهای پایین، میزان حساسیت بیشتری نسبت به تغییر رینولدز در رفتار موج فشاری پلیمر مشاهده می‌شود که علت آن، می‌تواند به قوت ویسکوزیته در آن حالات جریان و واپستگی بیشترش به عدد رینولدز ارتباط داده شود. لازم به ذکر است که در ضربه قوچ کلاسیک با سیالات نیوتونی نیز تغییرات عدد رینولدز تأثیرات قابل ملاحظه‌ای بر رفتار موج فشاری از خود نشان می‌دهد.



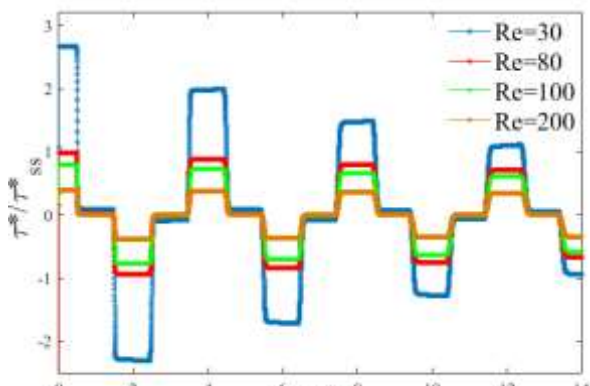
شکل (۵). تنش‌های برشی ناشی از ضربه قوچ در سیال غیر نیوتونی در وسط لوله

همان‌طور که در "شکل ۵" مشاهده می‌شود، در این حالت، نیز رفتار سیال غیرنیوتونی در دبوراهای پایین، کمی مشابه سیال نیوتونی است، در مورد یک سیال نیوتونی به دلیل به‌کارگیری روابط جریان پایدار در محاسبه میزان تنش وارد شده بر لوله در رخداد ضربه قوچ، معمولاً تنش نسبتاً بزرگی از محاسبات، حاصل می‌شود که نشان‌گر میزان خسارات وارد شده بر لوله می‌باشد. از سویی در دبورای بسیار پایین، میزان تنش‌های به دست آمده به مراتب بیشتر از دو حالت دیگر است. در واقع، با افزایش عدد دبورا که ناشی از افزایش زمان رهایی از تنش می‌باشد، زمان میرایی موج فشاری ناشی از قطع ناگهانی جریان طولانی‌تر و استهلاک آن با قدرت تخریبی کمتری اتفاق می‌افتد، این مسئله نشان می‌دهد که به‌کارگیری افزودنیهای ویسکوالاستیک، می‌تواند نقش مهمی در کاهش خسارات ناشی از تنش وارد بر لوله در رخداد ضربه قوچ داشته باشد.

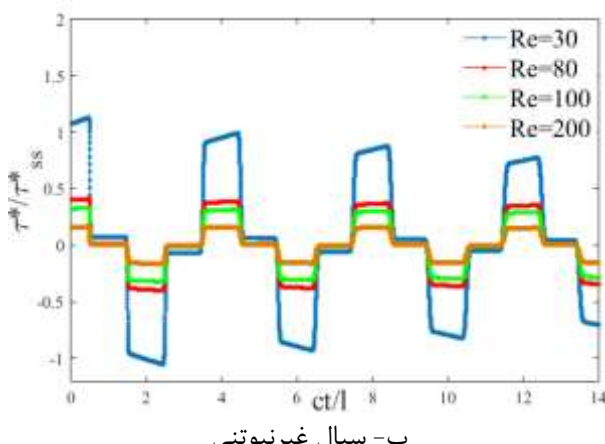
۵-۲- بررسی تأثیر عدد رینولدز

جهت بررسی تأثیر عدد رینولدز در شرایط برقراری سیال ویسکوالاستیک در لوله، محلول پلیمری مذکور و محلول‌های پلیمری دیگری که دارای غلظت و وزن مولکولی کمتر و در نتیجه زمان رهایی از تنش کمتر از ۱.۹ ثانیه هستند، به عنوان سیال ویسکوالاستیک در لوله، تحت رخداد ضربه قوچ قرار داده شده و در چندین مرحله به ازای دبوراهای ثابت، با اعداد رینولدز مختلف مورد مدل‌سازی قرار گرفته است. در واقع، در پژوهش حاضر، تلاش بر این است که تأثیر گروه‌های بی‌بعد در معادلات حاکم، در

عدد رینولدز در طول رخداد ضربه قوچ کلاسیک در نقطه بحرانی وسط لوله انجام گردید.



الف- سیال نیوتونی



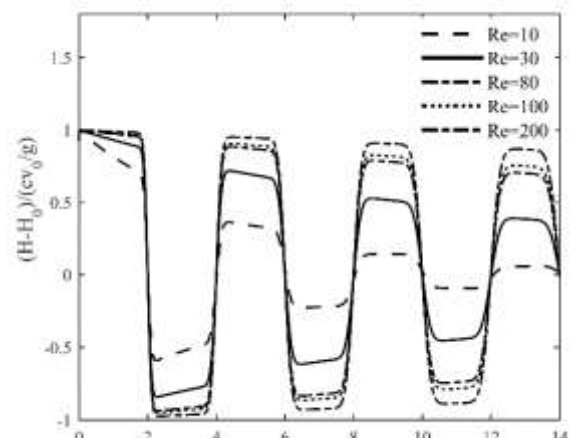
ب- سیال غیرنیوتونی

شکل (۸). مقایسه تنش‌های برشی سیالات در محدوده جریان آرام در نقطه وسط لوله

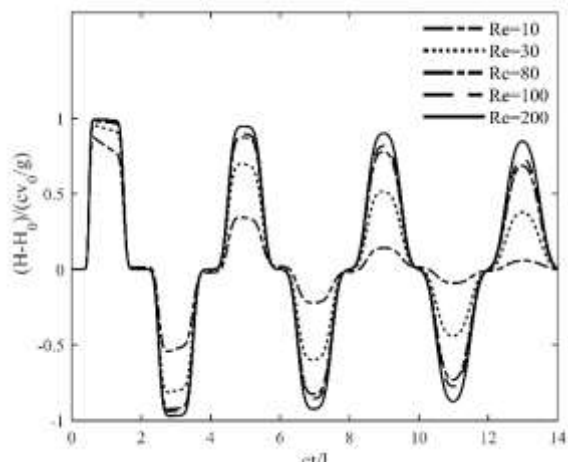
شکل ۸ نشان می‌دهد که ماکریزم تنش‌های برشی ناشی از ضربه قوچ در اعداد رینولدز پایین رخ می‌دهد که دلیل آن بهطور قطع، به قوت ویسکوزیته جریان در این حالت ارتباط داده می‌شود که این مسئله شدیداً جداره لوله را تحت تاثیر قرار داده و افزایش تنش‌های برشی وارد بر جداره لوله را در پی دارد. به طوری که بیشترین تنش در محدوده جریان با $Re = 30$ و کمترین تنش در حالت $Re = 200$ ایجاد می‌گردد، در نمودار فوق، محور عمودی نسبت تنش‌های برشی به تنش‌های برشی وارد بر جداره لوله در حالت جریان دائمی می‌باشد.

۴-۵- پدیده لاین پکینگ

پدیده لاین پکینگ که درواقع، میزان تجاوز از فشار ژوکوفسکی در پشت شیر است، به تأثیرات اصطکاکی ایجاد شده ناشی از ویسکوزیته سیال در جریان آرام در طول لوله



الف- پشت شیر



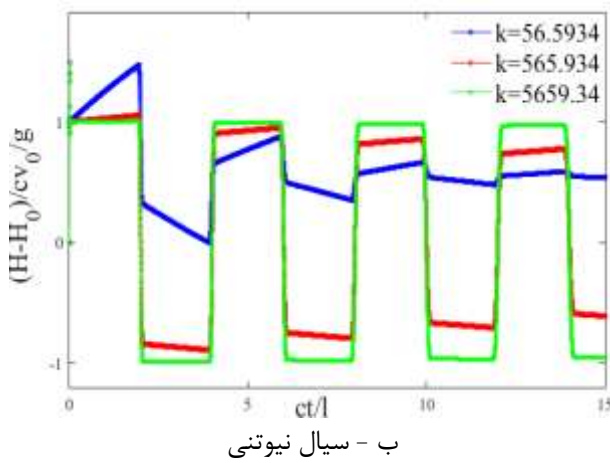
ب- وسط لوله

شکل (۷). تأثیر عدد رینولدز بر تاریخچه فشار در سیال نیوتونی

همان‌طور که در شکل ۷، مشاهده می‌شود، در ضربه قوچ کلاسیک، با افزایش عدد رینولدز در محدوده جریان آرام، نوسانات موج فشاری بیشتر و به تبع آن، زمان میرایی جریان انتقالی بیشتر می‌شود که در ضربه قوچ ویسکوالاستیک با مدل غیرنیوتونی نیز همین روند با حساسیت نسبتاً کمتری مشاهده می‌گردد.

۳-۵- مقایسه تنش‌های برشی در طول لوله

یکی از ویژگی‌های مهم جریان‌های آرام، ویسکوزیته بالای سیال در این نوع جریان‌ها است که این مسئله به‌طورقطعی، تنش‌های برشی وارد بر جداره لوله را تحت تأثیر قرار می‌دهد. به‌منظور بررسی میزان تأثیرپذیری تنش‌های برشی از تغییرات عدد رینولدز در محدوده جریان‌های آرام، مقایسه‌ای بین تنش‌های برشی با تغییرات



ب - سیال نیوتونی

شکل (۹). مقایسه پدیده لاین پکینگ در سیالات در پشت شیر با توجه به شکل (۹) با کاهش ضریب لاین پکینگ ضمن افزایش دمپینگ جریان انتقالی، پدیده لاین پکینگ یا میزان تجاوز فشار اولیه در محل پشت شیر از فشار ژوکوفسکی با وضوح بیشتری در مورد هر دو سیال نیوتونی و غیرنیوتونی اتفاق می‌افتد. از طرفی، در مقایسه رفتاری بین این دو سیال، مشاهده گردید که در شرایط مشابه، میزان تجاوز فشار اولیه از فشار ژوکوفسکی در محل پشت شیر، در سیال غیرنیوتونی، نسبت به سیال نیوتونی کمی بیشتر است که دلیل آن به طور قطع، به ویژگی الاستیکی این سیال نظری ثابت زمان رهایی از تنش ارتباط داده می‌شود که بهشدت متمایل به نگهداری انرژی پتانسیل وارد بوده و در مقابل دمپینگ جریان انتقالی مقاومت می‌کند. همین مسئله باعث می‌شود که در مقایسه با سیال نیوتونی، زمان میرایی طولانی‌تری داشته باشند.

۶- نتیجه‌گیری

هدف از پژوهش حاضر، بررسی رابطه‌ای بین معادلات حاکم بر ضربه قوچ و مشخصات و ویژگی‌های سیال غیرنیوتونی است که با استفاده از مدل فوق هم رفتی ماسکول، مورد مدل‌سازی قرار گرفته است. معادلات حاکم بر مسئله، نظری ضربه قوچ کلاسیک، معادلات پیوستگی و مومنتوم بوده و روش عددی مورداستفاده روش عددی تفاضل محدود لакс فردریش در حالت دو گام زمانی است. در این روش، معادلات پیوستگی و مومنتوم جهت محاسبه مجهولات با استفاده از داده‌های گام زمانی قبلی، به طور همزمان محاسبه می‌شوند. در ادامه تأثیر اعداد دبورا و رینولدز در نقاط بحرانی لوله نظری پشت شیر و وسط لوله در

ارتباط داده می‌شود و متأثر از تغییرات یک پارامتر بی‌بعد است که به صورت زیر تعریف می‌شود [۶].

$$k = \frac{F_J}{F_v} = \frac{\rho c v_0 D^2}{D \eta l v_0 / D} = \frac{\rho c D^2}{\eta l} = \frac{c D^2}{\eta l} \quad (۲۹)$$

بنا بر تعریف، این پارامتر بی‌بعد که از نسبت تقسیم نیروی ژوکوفسکی به نیروی ویسکوز حاصل می‌شود، تابعی از جرم مخصوص، سرعت موج فشاری، قطر و طول لوله و همچنین ویسکوزیته سیال است. مدل‌سازی وهبا [۶] در مورد سیالات نیوتونی در طول پدیده ضربه قوچ نشان داد که با افزایش این پارامتر، تغییرات فشار نسبت به فشار ژوکوفسکی بسیار کم و با کاهش این پارامتر، تغییرات فشار نسبت به فشار ژوکوفسکی (تقرباً ۶۰ درصد بیشتر) می‌شود. در مدل‌سازی مطالعه حاضر که بر اساس جدول شماره (۲) انجام شده است، مقدار عددی این پارامتر به صورت زیر تخمین زده می‌شود:

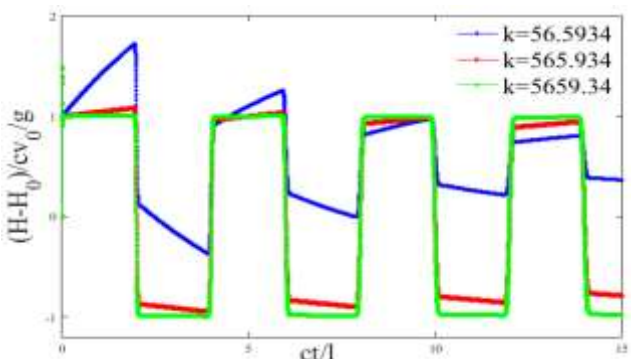
$$\left\{ \begin{array}{l} \rho = 2200 \text{ kg/m}^3 \\ c = 1324.7 \text{ m/s} \\ D = 0.0253 \text{ m} \Rightarrow k = \frac{\rho c D^2}{\eta l} = 56.5934 \\ \eta = 0.08918 \text{ pa.s} \\ l = 36.09 \text{ m} \end{array} \right. \quad (۳۰)$$

جهت بررسی مقایسه میزان تأثیرپذیری رفتار سیالات نیوتونی و غیرنیوتونی از تغییرات این پارامتر بی‌بعد در جریان آرام، سه حالت در مورد هر سیال بررسی قرار گرفت:

جدول ۳- مشخصات حالات مختلف مدل‌سازی در

هر یک از سیالات

شماره حالتها	$k = \frac{\rho c D^2}{\eta l}$
۱	۵۶.۵۹۳۴
۲	۵۶۵.۹۳۴
۳	۵۶۵۹.۳۴



الف - سیال غیرنیوتونی

- [7] M. Norouzi, A. Anaraki Haji Bagheri, M. H. Sedaghat, M. M. Shahmardan, Numerical study of three dimensional instability of nonlinear viscoelastic fluid flow around a sphere, *Modares Mechanical Engineering*, Vol. 17, No. 12, pp. 213-222, 2018 (in Persian). doi:[20.1001.1.23223278.1402.12.1.4.3](https://doi.org/10.1001.1.23223278.1402.12.1.4.3)
- [8] S. Mora, M. Manna, From viscous fingering to elastic instabilities, *Non-Newtonian Fluid Mechanics*, Vol. 173, pp. 30-39, 2012. doi: [10.1016/j.jnnfm.2012.01.010](https://doi.org/10.1016/j.jnnfm.2012.01.010)
- [9] R. J. Poole, M. A. Alves, P. J. Oliveira, F. T. Pinho, Plane sudden expansion flows of viscoelastic liquids, *Non-Newtonian Fluid Mechanics*, Vol. 146, pp. 79-91, 2007. doi: [10.1016/j.jnnfm.2006.11.001](https://doi.org/10.1016/j.jnnfm.2006.11.001)
- [10] H. Shokri, M. Kayhani, M. Norouzi, Nonlinear simulation and linear stability analysis of viscous fingering instability of viscoelastic liquids, *Physics of Fluids*, Vol. 29, No. 3, pp. 033101, 2017. doi: [20.1001.1.23223278.1401.11.2.2.6](https://doi.org/20.1001.1.23223278.1401.11.2.2.6).
- [11] H. Shokri, M. Kayhani, M. Norouzi, Nonlinear simulation of viscoelastic fingering instability, *Modares Mechanical Engineering*, Vol. 16, No. 8, pp.47-54, 2016. (in Persian). doi:[20.1001.1.23223278.1402.12.1.4.3](https://doi.org/20.1001.1.23223278.1402.12.1.4.3)
- [12] R. B. Bird, R. Armstrong, and O. Hassager, *Dynamics of Polymeric Liquids*. Vol. 1: Fluid Mechanics, pp.588-634, Wiley, 1987.
- [13] E.M.Wahba, Runge–Kutta time-stepping schemes with TVD central differencing for the water hammer equations, *Numerical Methods in Fluids*, Vol. 52, No. 5, pp.571-590, 2006. doi:[10.1016/j.jnnfm.2013.04.007](https://doi.org/10.1016/j.jnnfm.2013.04.007).
- [14] M.S. Ghidaoui, M. Zhao, D.A. McInnis and D.H. Axworthy, A review of water hammer theory and practice, *Applied Mechanics. Reviews*, Vol. 58, No. 49, pp. 49-76, 2005. doi: [10.1115/1.1828050](https://doi.org/10.1115/1.1828050).
- [15] S. Mandani, M. Norouzi and M.M. Shahmardan “An experimental investigation on impact process of Boger drops onto solid surfaces” *Korea-Australia Rheology J*, 30, pp. 99, 2018. doi: 10.1007/s13367-018-0011-0
- [16] J. C. Maxwell, *The Scientific Letters and Papers of James Clerk Maxwell*, pp.1846-1862, CUP Archive, Cambridge, Cambridge university press, 1990. doi:[10.1017/S0007087405337538](https://doi.org/10.1017/S0007087405337538).
- [17] T. Belytschko, Y. Krongauz, D. Organ and M. Fleming, Meshless methods: an overview and recent developments, *Computer Methods in Applied Mechanics and Engineering*, Vol. 139, pp. 3-47, 1996. doi: [10.1016/S0045-7825\(96\)01078-X](https://doi.org/10.1016/S0045-7825(96)01078-X).

قالب نمودار ترسیم و مورد تجزیه و تحلیل قرار گرفته است. پس از مقایسه نتایج به دست آمده با حالت کلاسیک، مشخص گردید که ثابت زمانی رهایی از تنش که از ویژگی های مهم سیال ویسکوالاستیک است، ضمن تأثیر بر کاهش تنش های برشی وارد، نقش مهمی در افزایش زمان میرایی موج حاصل از ضربه قوچ و در نتیجه طولانی تر شدن جریان انتقالی دارد. از طرفی، در مقایسه رفتاری بین سیال نیوتونی و سیال ویسکوالاستیک، مشاهده گردید که در شرایط مشابه، پدیده لاین پکینگ در سیال غیرنیوتونی، نسبت به سیال نیوتونی کمی بیشتر است که دلیل آن به طور قطعی، به ویژگی الاستیکی این سیال نظیر ثابت زمان رهایی از تنش ارتباط داده می شود که بهشت متمایل به نگهداشت انرژی پتانسیل وارد بوده و در مقابل دمپینگ جریان انتقالی مقاومت می کند. همین مسئله باعث می شود که در مقایسه با سیال نیوتونی، زمان میرایی طولانی تری داشته باشد.

۷- مراجع

- [1] V.L. Streeter, C. Lai, *Waterhammer Analysis Including Fluid Friction*, Second Edition, pp. 1491–1524, American Society of Civil Engineers, 1993.
- [2] W. Zielke, Frequency- Dependent Friction in Transient Pipe flow, *Basic Engineering*, Vol. 90, No. 1, pp. 109-1338, 1968. doi: [10.1115/1.3605049](https://doi.org/10.1115/1.3605049)
- [3] S.Tijsseling, A. Bergant,, Meshless computation of water hammer, *Proceedings of 2nd IAHR International meeting of the workgroup on cavitation and dynamic problems in hydraulic machinery and systems*. Timisoara, Romania, pp. 65-77, 2007. doi:[10.1016/j.jnnfm.2013.04.007](https://doi.org/10.1016/j.jnnfm.2013.04.007).
- [4] H. Shamloo, R. Norooz and M. Mousavifard, A review of one-dimensional unsteady friction models for transient pipe flow, *Proceedings of The Second National Conference on Applied Research in Science and Technology*, Faculty of Science, Cumhuriyet University, pp. 2278-2288, 2015. doi:[10.1016/j.jnnfm.2013.04.007](https://doi.org/10.1016/j.jnnfm.2013.04.007).
- [5] A. Vardy, J. Brown, Efficient approximation of unsteady friction weighting functions, *Hydraulic Engineering*, Vol. 130, No. 11, pp. 1097-1107, 2004. doi: [10.1061/\(ASCE\)0733-9429](https://doi.org/10.1061/(ASCE)0733-9429)
- [6] E.M.Wahba, Non-Newtonian fluid hammer in elastic circular pipes: Shear-thinning and shear-thickening effects, *Non-Newtonian Fluid Mechanics*, Vol. 198, No. 10, pp. 24-30, 2013. doi:[10.1016/j.jnnfm.2013.04.007](https://doi.org/10.1016/j.jnnfm.2013.04.007).

- Lashkarbolouk, "Numerical modeling of the fluid hammer phenomenon of viscoelastic flow in pipes", Journal of the Brazilian Society of Mechanical Sciences and Engineering. Springer, Vol. 41, No. 543, pp. 1-14, 2019, doi: [10.1007/s40430-019-2046-7](https://doi.org/10.1007/s40430-019-2046-7).
- [25]. B. Norouzi, A. Ahmadi, M. Norouzi & M. Lashkarbolouk, "Investigating the Effect of Reynolds Number on Non-Newtonian Fluid-Hammer in Laminar Flow", Scientific Journal of Fluid Mechanics and Aerodynamics, Vol. 8, No. 2, 2020. (in Persian). doi:[20.1001.1.23223278.1402.12.1.4.3](https://doi.org/10.1001.1.23223278.1402.12.1.4.3)
- [26] B. Norouzi, A. Ahmadi, M. Norouzi & M. Lashkarbolouk, "Fluid-Structure Interaction During Viscoelastic Fluid Hammer Phenomenon in the Pipes". AUT Journal of Mechanical Engineering, Vol. 6, No. 1, pp. 95-112, doi: 10.22060/ajme.2021.20217.5994.
- [27] B. Norouzi; A. Ahmadi; M. Norouzi; M. LashkarBolook. "Modeling of an Upper-Convection-Maxwell Fluid Hammer Phenomenon in Pipe System". AUT Journal of Mechanical Engineering, Vol. 4, No. 1, pp. 31-40, 2020, doi: 10.22060/ajme.2019.15527.5778.
- [28] B. Arezoomand, H. Parhizgar, A. Tarabi, "Investigate of Septum Type Effects and Septum Density of Lattice Fin Partitions On Aerodynamics Coefficient", Scientific Journal of Fluid Mechanics and Aerodynamics, Vol. 8, No. 2, pp. 153-168,2018. (in Persian) doi:[20.1001.1.23223278.1399.9.1.1.9.](https://doi.org/10.1001.1.23223278.1399.9.1.1.9.).
- [18] M.H. Afshar, M. Lashkarbolok, Collocated discrete least-squares (CDLS) meshless method: Error estimate and adaptive refinement, Numerical Methods in Fluids, Vol. 56, No. 10, pp. 1909–1928, 2008. doi: [10.1016/j.scient.2012.09.004](https://doi.org/10.1016/j.scient.2012.09.004).
- [19] B. Norouzi, A. Ahmadi, M. Lashkarbolouk & M. Noro
- uzi, "Numerical solution of water hammer phenomenon by Collocated Discrete Least Squares method". Journal of Water and Soil Conservation, Vol. 25, No. 3, pp. 1-23, doi: 10.22069/jwsc.2018.14532.2936.
- [20] S. Alimohammadian, M. Hashemabadi, S. Ghasemlooy, H. Parhizkar & J. Pirkandi, "Investigation of effect of geometric structure on two phase flow heat transfer in microchannels", Scientific Journal of Fluid Mechanics and Aerodynamics, Vol. 11, No. 2, pp. 11-23, 2023. (in Persian). doi: [20.1001.1.23223278.1401.11.2.2.6](https://doi.org/10.1001.1.23223278.1401.11.2.2.6).
- [21] M.K.Moayyedi, F.Bigdeloo, "Direct Numerical Simulation of Single Layer Quasi-Geostrophic Ocean Circulation", Scientific Journal of Fluid Mechanics and Aerodynamics, Vol. 12, No. 1, pp. 39-51,2024. (in Persian). doi:[20.1001.1.23223278.1402.12.1.4.3](https://doi.org/10.1001.1.23223278.1402.12.1.4.3)
- [22] E.L. Holmboe, W.T. Rouleau, The effect of viscous shear on transients in liquid lines, *Basic Engineering*, Vol. 89, No. 1, pp. 174-180, 1967. doi: [10.1115/1.3609549](https://doi.org/10.1115/1.3609549)
- [23] A. Ghahremani, A. Keshavarz, "Implementation of an adaptive thermodynamic fault model to compensate the gas turbine degradation", Scientific Journal of Fluid Mechanics and Aerodynamics, Vol. 12, No. 1, pp. 111-128,2024. (in Persian). doi: [20.1001.1.23223278.1402.12.1.9.8](https://doi.org/10.1001.1.23223278.1402.12.1.9.8).
- [24] B. Norouzi, A. Ahmadi, M. Norouzi & M.

